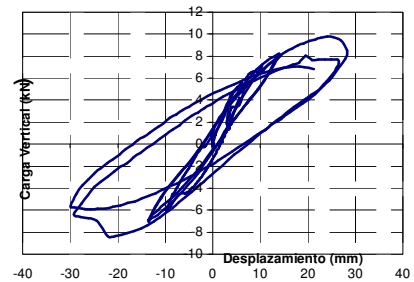


ESTUDIO EXPERIMENTAL DE LA DUCTILIDAD DE SOPORTES DE HORMIGÓN SOMETIDOS A COMPRESIÓN Y CARGA LATERAL CÍCLICA. INFLUENCIA DE LAS FIBRAS DE ACERO EN LA MASA DE HORMIGÓN

FICHA TÉCNICA DE ENSAYOS

Ensayo Nº	1	Fecha de Hormigonado	13-mayo-09
SopORTE	S1	Fecha de Rotura	10-junio-09



CARACTERÍSTICAS

fcm (MPa)	34.94	bxh	15x26
Esbeltz (λg)	5.76		
Axil reducido (v)	0.35	Acero	Lote 1
ρ l (%)	1.74		6Φ12
ρ s (%)	1.40		Φ8C/10

DOSIFICACIÓN (Kg/m³)

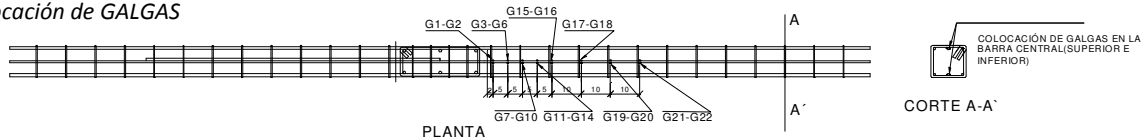
Cemento	Agua	Arena	Grava	Fibras
348	196.44	1107.6	666	0
Humo de Sílice	Plastificante Pozzolith 651N	Superplastificante Glenium AC		
0	0	31	0	

CARGAS

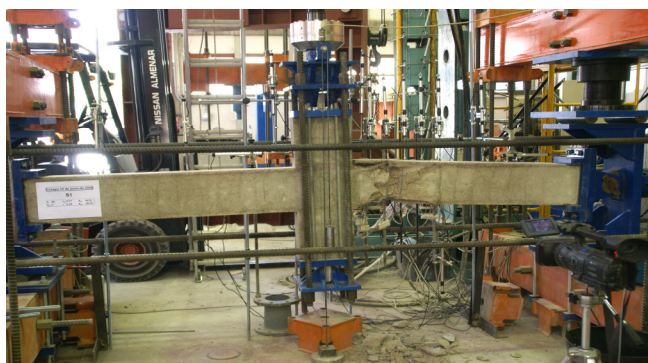
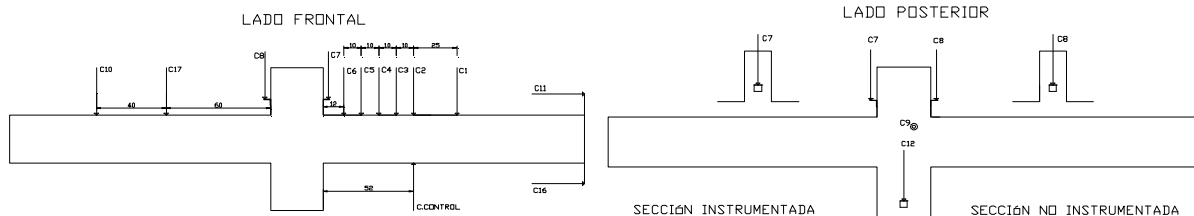
Nº ciclos	3A-U
Axil (kN)	456.59
P1 (kN)	58.86
Δy (mm)	10.66

INSTRUMENTACIÓN

Colocación de GALGAS



Colocación de CAPTADORES



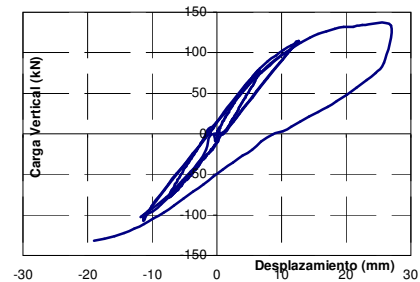
OBSERVACIONES

- Se produjo salto de recubrimiento en 2A -D
- Se alcanza el fallo por rotura iniciando el ciclo 3A-U, una carga impuesta de 61.63 kN y un desplazamiento en el punto de control de 24.48 mm.
- Se evidenció pandeo de la armadura longitudinal (superior e inferior).

ESTUDIO EXPERIMENTAL DE LA DUCTILIDAD DE SOPORTES DE HORMIGÓN SOMETIDOS A COMPRESIÓN Y CARGA LATERAL CÍCLICA. INFLUENCIA DE LAS FIBRAS DE ACERO EN LA MASA DE HORMIGÓN

FICHA TÉCNICA DE ENSAYOS

Ensayo Nº	2	Fecha de Hormigonado	02-junio-09
SopORTE	S8	Fecha de Rotura	30-junio-09



CARACTERÍSTICAS

fcm (MPa)	64.06	bxh	15x26
Esbeltez (λ_g)	5.76		
Axil reducido (ν)	0.35	Acero	Lote 1
ρ_l (%)	1.74		6 Φ 12
ρ_s (%)	1.40		Φ 8C/10

DOSIFICACIÓN (Kg/m³)

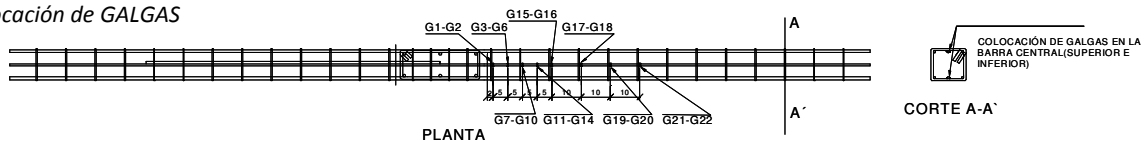
Cemento	Agua	Arena	Grava	Fibras
427.5	158.88	733.2	890	0
Humo de Sílice	Plastificante Pozzolith 651N	Superplastificante Glenium AC-31		
50	4.27	8.55		

CARGAS

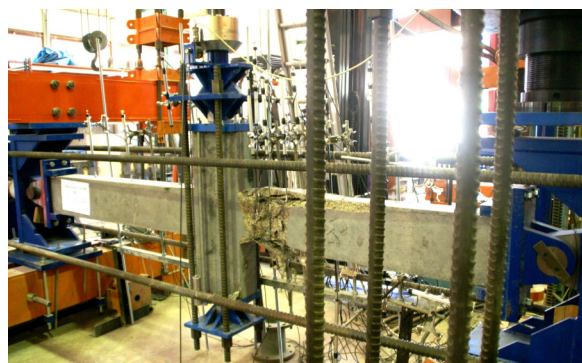
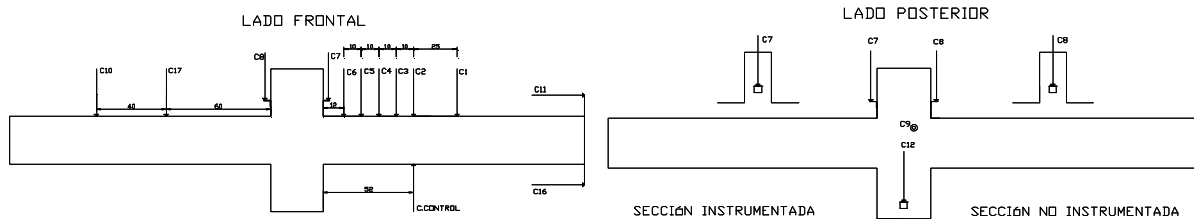
Nº ciclos	2A-D
Axil (kN)	874.35
P1 (kN)	78.48
Δy (mm)	9.35

INSTRUMENTACIÓN

Colocación de GALGAS



Colocación de CAPTADORES



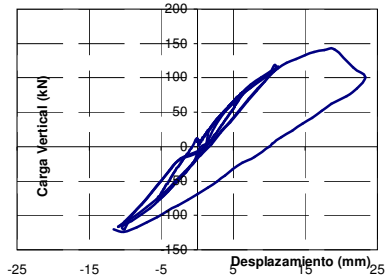
OBSERVACIONES

- Se produjo salto de recubrimiento en 2A-U.
- Se alcanza el fallo por rotura después de haber alcanzado 2A-D, con una carga impuesta de -132.19 kN y un desplazamiento en el punto de control de -14.67 mm.
- Se evidenció pandeo de la armadura longitudinal (superior e inferior).

ESTUDIO EXPERIMENTAL DE LA DUCTILIDAD DE SOPORTES DE HORMIGÓN SOMETIDOS A COMPRESIÓN Y CARGA LATERAL CÍCLICA. INFLUENCIA DE LAS FIBRAS DE ACERO EN LA MASA DE HORMIGÓN

FICHA TÉCNICA DE ENSAYOS

Ensayo Nº	3	Fecha de Hormigonado	05-junio-09
SopORTE	S9	Fecha de Rotura	03-julio-09



CARACTERÍSTICAS

f _{cm} (MPa)	79.94	b _{xh}	15x26
Esbeltez (λ _g)	5.76		
Axil reducido (v)	0.35	Acero	Lote 1
ρ _l (%)	1.74		6Φ12
ρ _s (%)	2.79		Φ8C/5

DOSIFICACIÓN (Kg/m³)

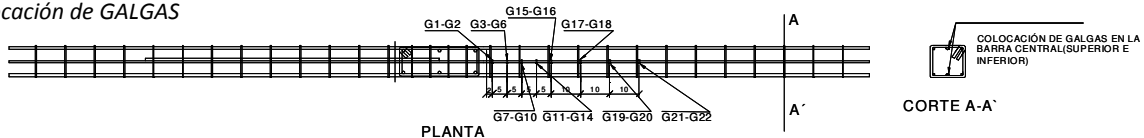
Cemento	Agua	Arena	Grava	Fibras
427.5	158.88	733.2	890	0
Humo de Sílice	Plastificante Pozzolith 651N	Superplastificante Glenium AC-		
50	4.27	31	8.55	

CARGAS

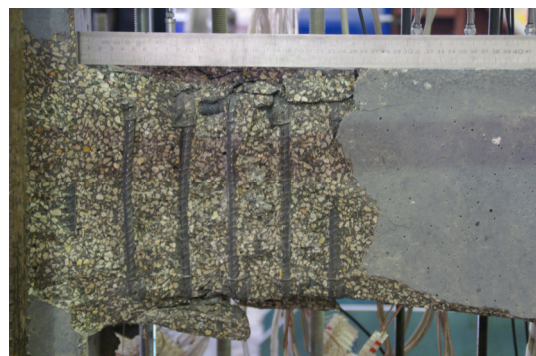
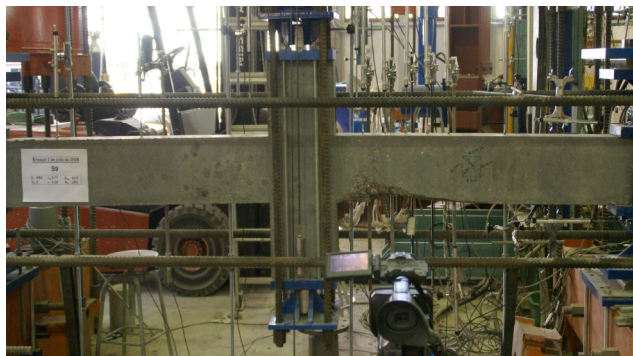
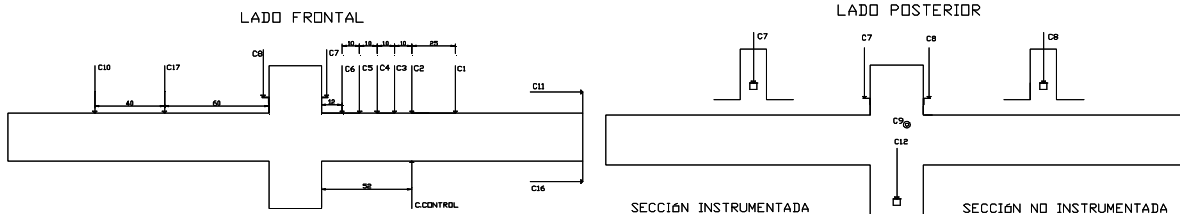
Nº ciclos	2A-D
Axil (kN)	1091.16
P1 (kN)	78.48
Δy (mm)	8.72

INSTRUMENTACIÓN

Colocación de GALGAS



Colocación de CAPTADORES



OBSERVACIONES

- Se produjo salto de recubrimiento en 2A-U.
- Se alcanza el fallo por rotura después de haber alcanzado 2A-D, con una carga impuesta de -120.09 kN y un desplazamiento en el punto de control de -8.29 mm.

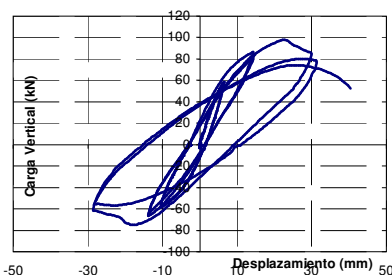
ESTUDIO EXPERIMENTAL DE LA DUCTILIDAD DE SOPORTES DE HORMIGÓN SOMETIDOS A COMPRESIÓN Y CARGA LATERAL CÍCLICA. INFLUENCIA DE LAS FIBRAS DE ACERO EN LA MASA DE HORMIGÓN

FICHA TÉCNICA DE ENSAYOS

Ensayo Nº	4	Fecha de Hormigonado	12-junio-09
SopORTE	S3	Fecha de Rotura	10-julio-09

CARACTERÍSTICAS

fcm (MPa)	33.37	bxh	15x26
Esbeltez (λ)	5.76		
Axil reducido (ν)	0.35	Acero	Lote 1
ρ_l (%)	1.74		6 Φ 12
ρ_s (%)	1.40		Φ 8C/10



DOSIFICACIÓN (Kg/m³)

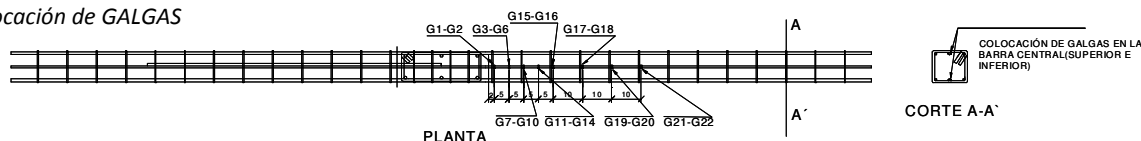
Cemento	Agua	Arena	Grava	Fibras
570	158.88	733.2	890	30
Humo de Sílice	Plastificante Pozzolith 651N	Superplastificante Glenium AC-		
0	1.99	31	3.99	

CARGAS

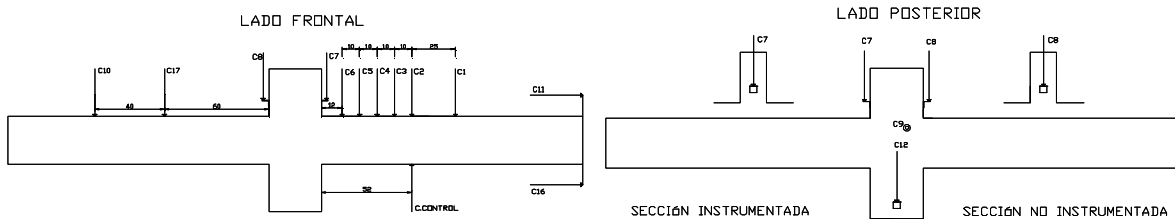
Nº ciclos	3A-U
Axil (kN)	455.455
P1 (kN)	49.05
Δy (mm)	11.02

INSTRUMENTACIÓN

Colocación de GALGAS

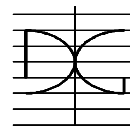


Colocación de CAPTADORES



OBSERVACIONES

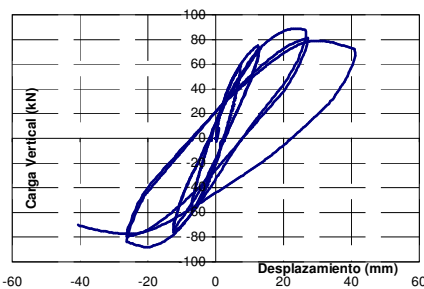
- Se produjo salto de recubrimiento en 2A -U.
- Se alcanza el fallo por rotura después de haber alcanzado 3A-U, con una carga impuesta de 52.50 kN y un desplazamiento en el punto de control de 27.32 mm.
- Se evidenció pandeo de la armadura longitudinal (superior e inferior).



ESTUDIO EXPERIMENTAL DE LA DUCTILIDAD DE SOPORTES DE HORMIGÓN SOMETIDOS A COMPRESIÓN Y CARGA LATERAL CÍCLICA. INFLUENCIA DE LAS FIBRAS DE ACERO EN LA MASA DE HORMIGÓN

FICHA TÉCNICA DE ENSAYOS

Ensayo Nº	5	Fecha de Hormigonado	17-junio-09
SopORTE	S4	Fecha de Rotura	15-julio-09



CARACTERÍSTICAS

f _{cm} (MPa)	38	b _{xh}	15x26
Esbeltez (λ _g)	5.76		
Axil reducido (v)	0.35	Acero	Lote 1
ρ _l (%)	1.74		6Φ12
ρ _s (%)	2.79		Φ8C/5

DOSIFICACIÓN (Kg/m³)

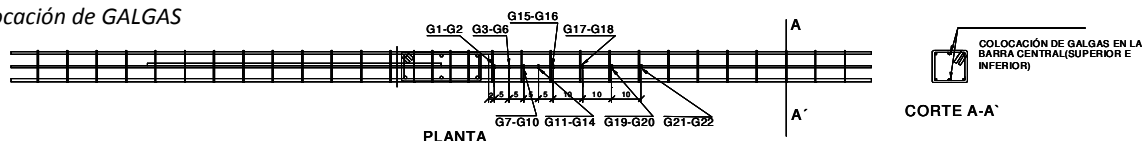
Cemento	Agua	Arena	Grava	Fibras
570	158.88	733.2	890	30
Humo de Sílice	Plastificante Pozzolith 651N	Superplastificante Glenium AC-		
0	1.99	3.99		

CARGAS

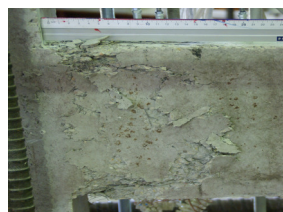
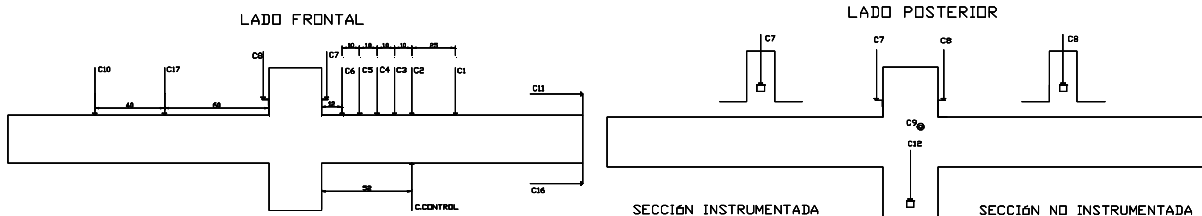
Nº ciclos	3A-D
Axil (kN)	518.7
P1 (kN)	58.86
Δy (mm)	10.12

INSTRUMENTACIÓN

Colocación de GALGAS



Colocación de CAPTADORES



OBSERVACIONES

- Se produjo salto de recubrimiento en 2A-D.
- Se alcanza el fallo por rotura después de haber alcanzado 3A-D, con una carga impuesta de -70.11 kN y un desplazamiento en el punto de control de -31.33 mm.

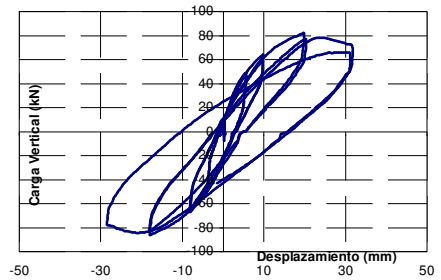
ESTUDIO EXPERIMENTAL DE LA DUCTILIDAD DE SOPORTES DE HORMIGÓN SOMETIDOS A COMPRESIÓN Y CARGA LATERAL CÍCLICA. INFLUENCIA DE LAS FIBRAS DE ACERO EN LA MASA DE HORMIGÓN

FICHA TÉCNICA DE ENSAYOS

Ensayo Nº	6	Fecha de Hormigonado	22-junio-09
SopORTE	S5	Fecha de Rotura	20-julio-09

CARACTERÍSTICAS

f _{cm} (MPa)	33.65	bxh	15x26
Esbeltez (λ _g)	5.76		
Axil reducido (ν)	0.35	Acero	Lote 1
ρ _l (%)	1.74		6Φ12
ρ _s (%)	1.40		Φ8C/10



DOSIFICACIÓN (Kg/m³)

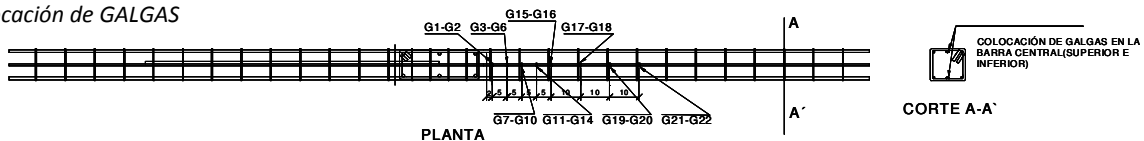
Cemento	Agua	Arena	Grava	Fibras
570	158.88	733.2	890	60
Humo de Sílice	Plastificante Pozzolith 651N	Superplastificante Glenium AC-		
0	2.56	31	5.13	

CARGAS

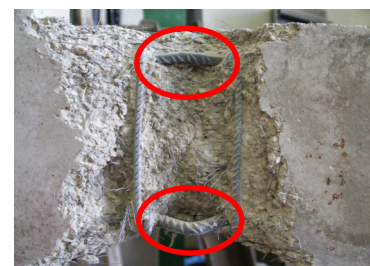
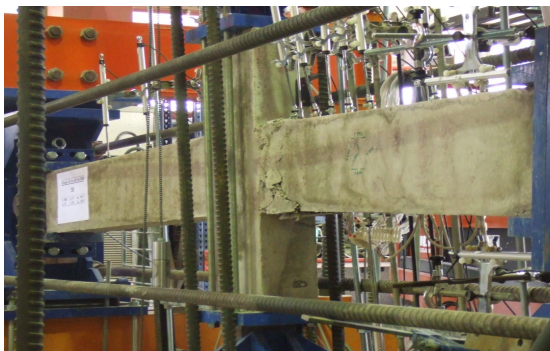
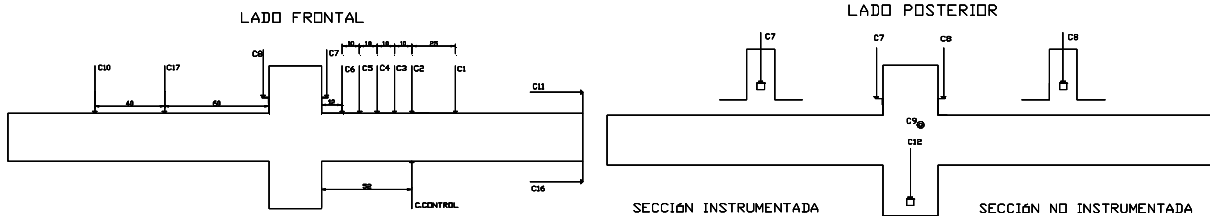
Nº ciclos	3B-Uφ
Axil (kN)	385.27
P1 (kN)	49.05
Δy (mm)	7.73

INSTRUMENTACIÓN

Colocación de GALGAS



Colocación de CAPTADORES



OBSERVACIONES

- Se produjo salto de recubrimiento en 3A-U.
- Se alcanza el fallo por rotura después de haber alcanzado 3B-Uφ, con una carga impuesta de -42.81 kN y un desplazamiento en el punto de control de -1.82 mm.
- Se evidenció pandeo de la armadura longitudinal (superior e inferior).

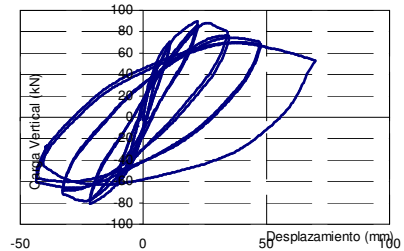
ESTUDIO EXPERIMENTAL DE LA DUCTILIDAD DE SOPORTES DE HORMIGÓN SOMETIDOS A COMPRESIÓN Y CARGA LATERAL CÍCLICA. INFLUENCIA DE LAS FIBRAS DE ACERO EN LA MASA DE HORMIGÓN

FICHA TÉCNICA DE ENSAYOS

Ensayo Nº	7	Fecha de Hormigonado	24-junio-09
SopORTE	S6	Fecha de Rotura	22-julio-09

CARACTERÍSTICAS

f _{cm} (MPa)	29.52	bxh	15x26
Esbeltez (λ _g)	5.76		
Axil reducido (v)	0.35	Acero	Lote 1
ρ _l (%)	1.74		6Φ12
ρ _s (%)	2.79		Φ8C/5



DOSIFICACIÓN (Kg/m³)

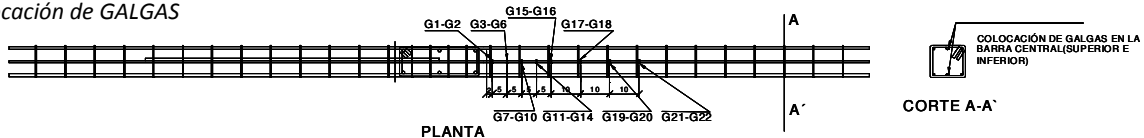
Cemento	Agua	Arena	Grava	Fibras
570	158.88	733.2	890	60
Humo de Sílice	Plastificante Pozzolith 651N	Superplastificante Glenium AC-		
0	2.56	31	5.13	

CARGAS

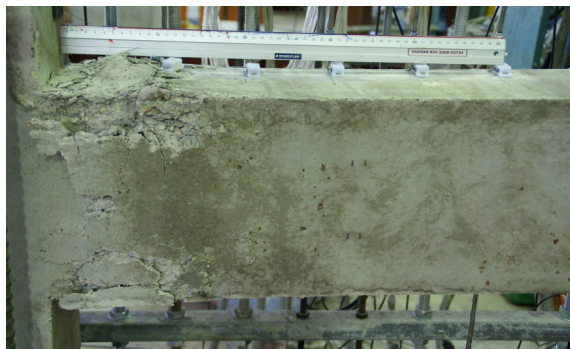
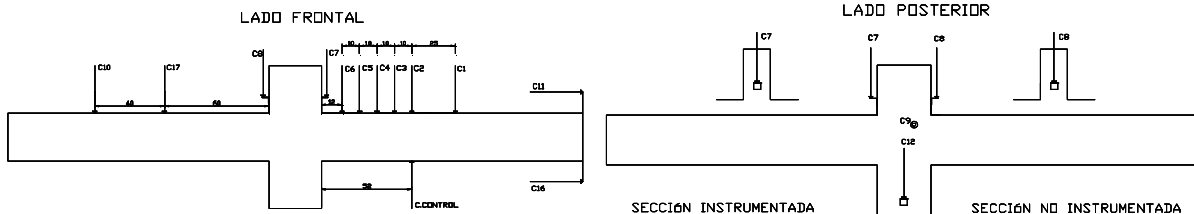
Nº ciclos	5A-Uφ
Axil (kN)	402.9
P1 (kN)	49.05
Δy (mm)	8.4

INSTRUMENTACIÓN

Colocación de GALGAS



Colocación de CAPTADORES



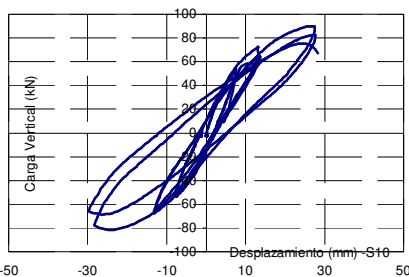
OBSERVACIONES

- Se produjo salto de recubrimiento en 3A-U.
- Se alcanza el fallo por rotura después de haber alcanzado 5A-Uφ, con una carga impuesta de -26.94 kN y un desplazamiento en el punto de control de -24.44 mm.

ESTUDIO EXPERIMENTAL DE LA DUCTILIDAD DE SOPORTES DE HORMIGÓN SOMETIDOS A COMPRESIÓN Y CARGA LATERAL CÍCLICA. INFLUENCIA DE LAS FIBRAS DE ACERO EN LA MASA DE HORMIGÓN

FICHA TÉCNICA DE ENSAYOS

Ensayo Nº	8	Fecha de Hormigonado	26-junio-09
Soporte	S7	Fecha de Rotura	24-julio-09



CARACTERÍSTICAS

fcm (MPa)	32.12	bxh	15x26
Esbeltez (λ)	5.76		
Axil reducido (ν)	0.35	Acero	Lote 1
ρ_l (%)	1.74		6 Φ 12
ρ_s (%)	0.23		Φ 8C/60

DOSIFICACIÓN (Kg/m³)

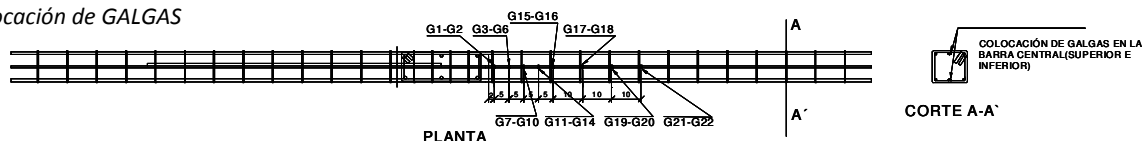
Cemento	Agua	Arena	Grava	Fibras
570	158.88	733.2	890	60
Humo de Sílice	Plastificante Pozzolith 651N	Superplastificante Glenium AC-		
0	2.56	31	5.13	

CARGAS

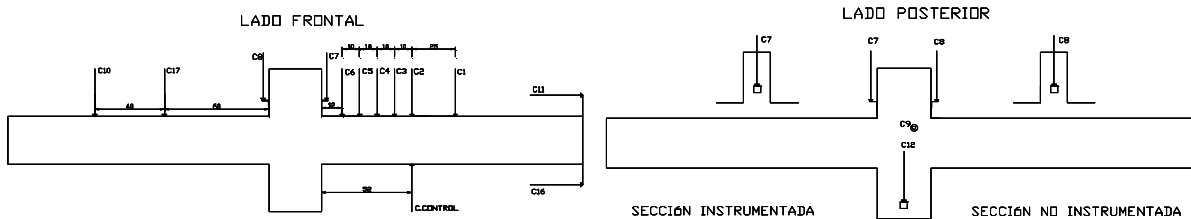
Nº ciclos	3A-U
Axil (kN)	438.39
P1 (kN)	53.96
Δy (mm)	10.29

INSTRUMENTACIÓN

Colocación de GALGAS

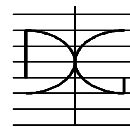


Colocación de CAPTADORES



OBSERVACIONES

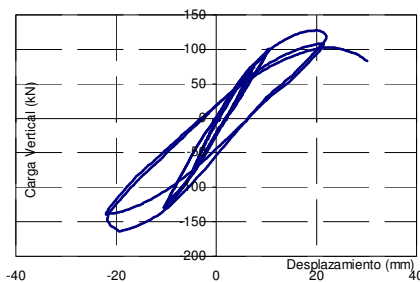
- Se produjo salto de recubrimiento en 2A-D.
- Se alcanza el fallo por rotura después de haber alcanzado 3A -U, con una carga impuesta de 67.01 kN y un desplazamiento en el punto de control de 21.52 mm.
- Se evidenció pandeo de la armadura longitudinal (superior e inferior).



ESTUDIO EXPERIMENTAL DE LA DUCTILIDAD DE SOPORTES DE HORMIGÓN SOMETIDOS A COMPRESIÓN Y CARGA LATERAL CÍCLICA. INFLUENCIA DE LAS FIBRAS DE ACERO EN LA MASA DE HORMIGÓN

FICHA TÉCNICA DE ENSAYOS

Ensayo Nº	15	Fecha de Hormigonado	18-sept.-09
SopORTE	S10	Fecha de Rotura	16-oct.-09



CARACTERÍSTICAS

f _{cm} (MPa)	75.47	b x h	15x26
Esbeltez (λ _g)	5.76		
Axil reducido (v)	0.35	Acero	Lote 2
ρ _l (%)	1.74		6Φ12
ρ _s (%)	1.40		Φ8C/10

DOSIFICACIÓN (Kg/m³)

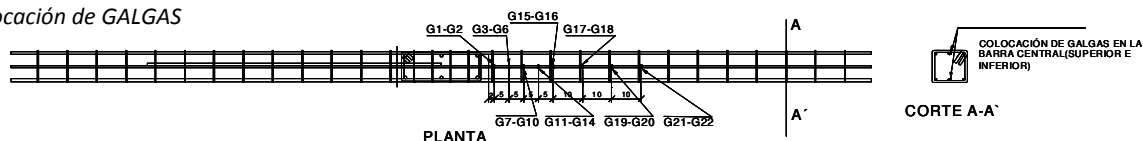
Cemento	Agua	Arena	Grava	Fibras
427.5	158.88	733.2	890	60
Humo de Sílice	Plastificante Pozzolith 651N	Superplastificante Glenium AC-31		
50	6.41	12.82		

CARGAS

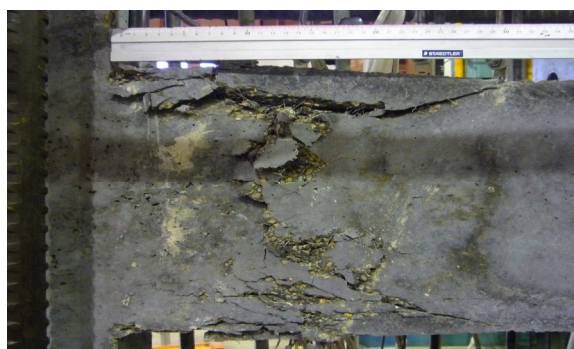
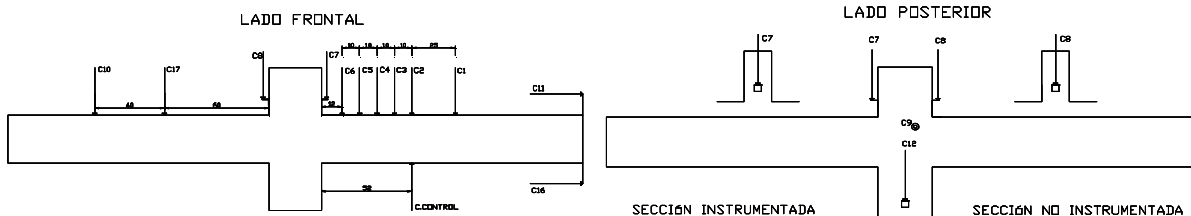
Nº ciclos	3A-U
Axil (kN)	1030.12
P1 (kN)	78.48
Δy (mm)	8.65

INSTRUMENTACIÓN

Colocación de GALGAS



Colocación de CAPTADORES



OBSERVACIONES

- Se produjo salto de recubrimiento en 2A -U.
- Se alcanza el fallo por rotura después de haber alcanzado 3A-U, con una carga impuesta de 82.99 kN y un desplazamiento en el punto de control de 24.04 mm.

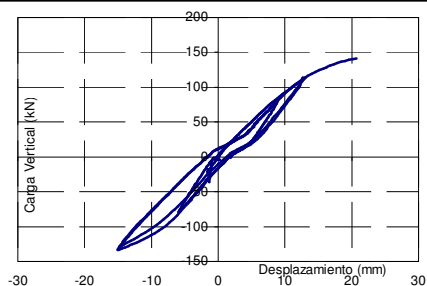
ESTUDIO EXPERIMENTAL DE LA DUCTILIDAD DE SOPORTES DE HORMIGÓN SOMETIDOS A COMPRESIÓN Y CARGA LATERAL CÍCLICA. INFLUENCIA DE LAS FIBRAS DE ACERO EN LA MASA DE HORMIGÓN

FICHA TÉCNICA DE ENSAYOS

Ensayo Nº	16	Fecha de Hormigonado	22-sept.-09
SopORTE	S11	Fecha de Rotura	20-oct.-09

CARACTERÍSTICAS

f _{cm} (MPa)	82.68	bxh	15x26
Esbeltez (λ _g)	5.76		
Axil reducido (ν)	0.35	Acero	Lote 1
ρ _l (%)	1.74		6Φ12
ρ _s (%)	2.79		Φ8C/5



DOSIFICACIÓN (Kg/m³)

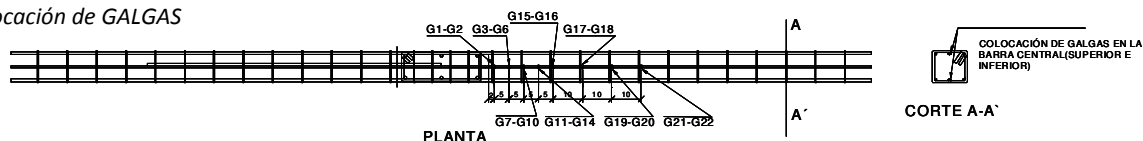
Cemento	Agua	Arena	Grava	Fibras
427.5	158.88	733.2	890	60
Humo de Sílice	Plastificante Pozzolith 651N	Superplastificante Glenium AC-		
50	6.41	31	12.82	

CARGAS

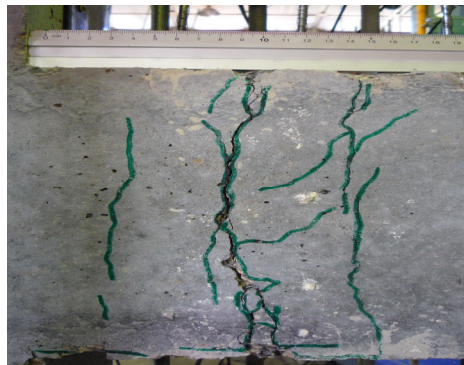
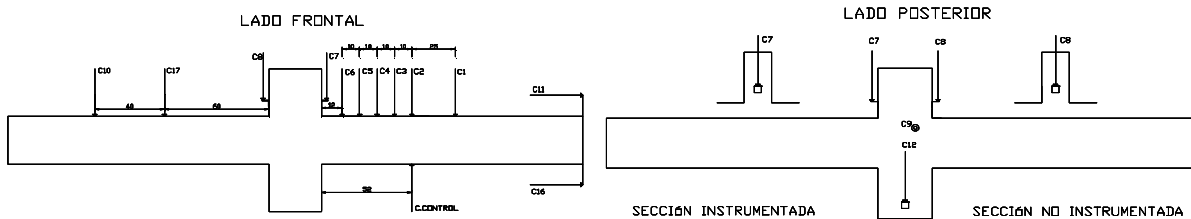
Nº ciclos	1B-Dφ
Axil (kN)	1128.63
P1 (kN)	78.48
Δy (mm)	11.48

INSTRUMENTACIÓN

Colocación de GALGAS



Colocación de CAPTADORES



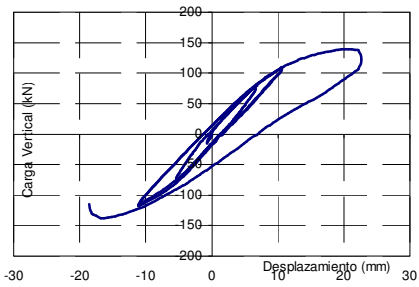
OBSERVACIONES

- Se produjo salto de recubrimiento justo antes de llegar a 2A-U.
- Se alcanza el fallo por rotura antes de alcanzar 2A-U, con una carga impuesta de 141.63 kN y un desplazamiento en el punto de control de 16.82 mm.

ESTUDIO EXPERIMENTAL DE LA DUCTILIDAD DE SOPORTES DE HORMIGÓN SOMETIDOS A COMPRESIÓN Y CARGA LATERAL CÍCLICA. INFLUENCIA DE LAS FIBRAS DE ACERO EN LA MASA DE HORMIGÓN

FICHA TÉCNICA DE ENSAYOS

Ensayo Nº	17	Fecha de Hormigonado	25-sept.-09
SopORTE	S12	Fecha de Rotura	23-oct.-09



CARACTERÍSTICAS

f _{cm} (MPa)	75.63	bxh	15x26
Esbeltez (λ _g)	5.76		
Axil reducido (v)	0.35	Acero	Lote 1
ρ _l (%)	1.74		6Φ12
ρ _s (%)	0.23		Φ8C/60

DOSIFICACIÓN (Kg/m³)

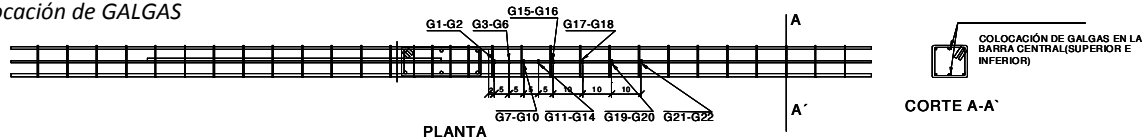
Cemento	Agua	Arena	Grava	Fibras
427.5	158.88	733.2	890	0
Humo de Sílice	Plastificante Pozzolith 651N	Superplastificante Glenium AC-31		
50	5.34	10.69		

CARGAS

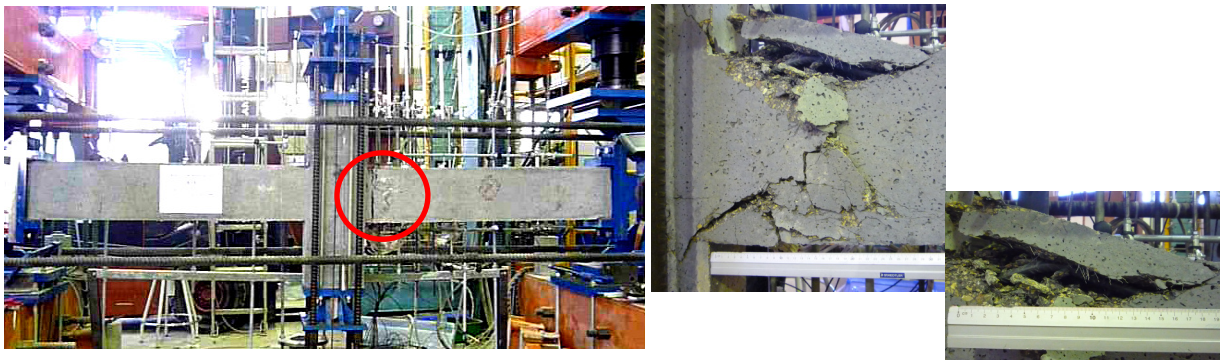
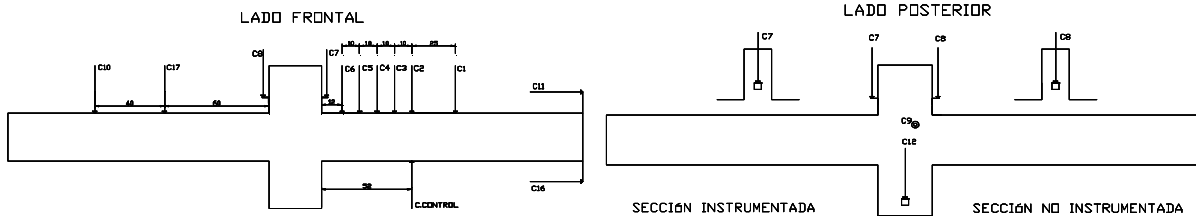
Nº ciclos	2A-D
Axil (kN)	1032.4
P1 (kN)	78.48
Δy (mm)	8.91

INSTRUMENTACIÓN

Colocación de GALGAS



Colocación de CAPTADORES



OBSERVACIONES

- Se produjo rotura frágil.
- Se alcanza el fallo por rotura después de haber alcanzado 2A -D, con una carga impuesta de -115.13 kN y un desplazamiento en el punto de control de -15.44 mm.
- Se evidenció pandeo de la armadura longitudinal (superior e inferior).

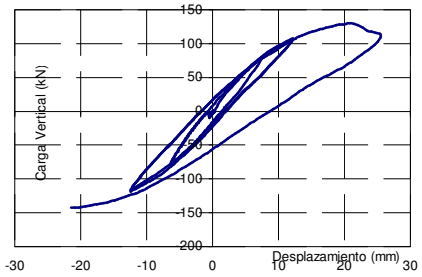
ESTUDIO EXPERIMENTAL DE LA DUCTILIDAD DE SOPORTES DE HORMIGÓN SOMETIDOS A COMPRESIÓN Y CARGA LATERAL CÍCLICA. INFLUENCIA DE LAS FIBRAS DE ACERO EN LA MASA DE HORMIGÓN

FICHA TÉCNICA DE ENSAYOS

Ensayo Nº	18	Fecha de Hormigonado	29-sept.-09
Soporte	S13	Fecha de Rotura	27-oct.-09

CARACTERÍSTICAS

fcm (MPa)	75.08	bxh	15x26
Esbeltez (λ_g)	5.76		
Axil reducido (ν)	0.35	Acero	Lote 1
ρ_l (%)	1.74		6 Φ 12
ρ_s (%)	0.23		Φ 8C/60



DOSIFICACIÓN (Kg/m³)

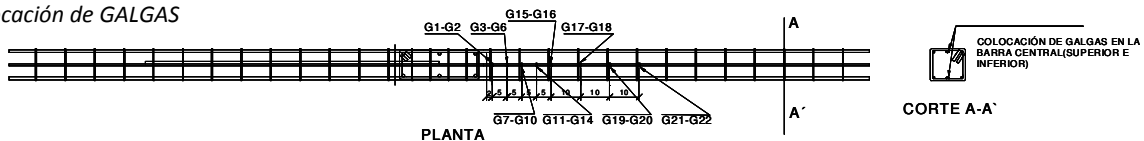
Cemento	Agua	Arena	Grava	Fibras
427.5	158.88	733.2	890	0
Humo de Sílice	Plastificante Pozzolith 651N	Superplastificante Glenium AC-		
50	6.41	31	12.82	

CARGAS

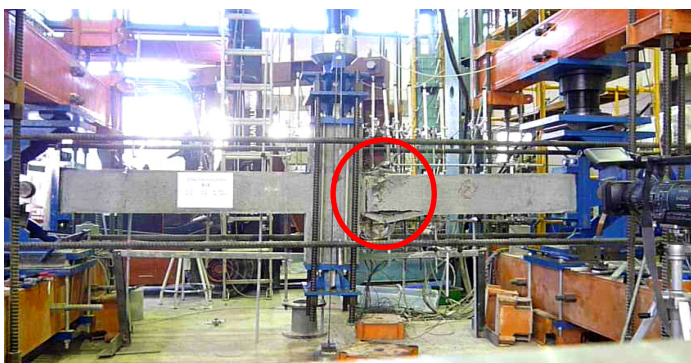
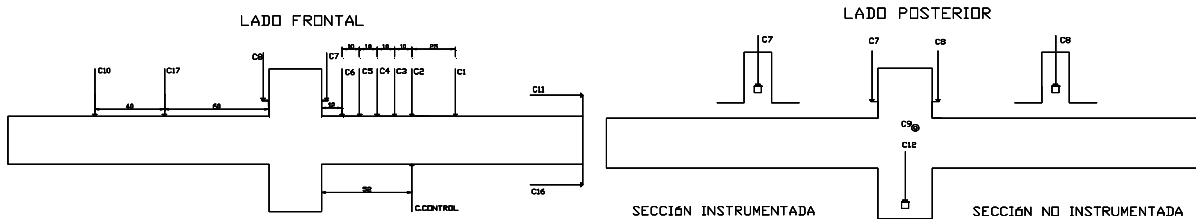
Nº ciclos	2A-D
Axil (kN)	1024.89
P1 (kN)	78.48
Δy (mm)	9.92

INSTRUMENTACIÓN

Colocación de GALGAS



Colocación de CAPTADORES



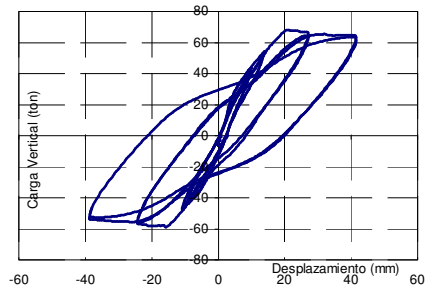
OBSERVACIONES

- Se produjo salto de recubrimiento en 2A-U.
- Se alcanza el fallo por rotura después de haber alcanzado 2A-D, con una carga impuesta de -142.35 kN y un desplazamiento en el punto de control de -16.88 mm.
- Se evidenció pandeo de la armadura longitudinal (superior e inferior).

ESTUDIO EXPERIMENTAL DE LA DUCTILIDAD DE SOPORTES DE HORMIGÓN SOMETIDOS A COMPRESIÓN Y CARGA LATERAL CÍCLICA. INFLUENCIA DE LAS FIBRAS DE ACERO EN LA MASA DE HORMIGÓN

FICHA TÉCNICA DE ENSAYOS

Ensayo Nº	10	Fecha de Hormigonado	02-sept.-09
SopORTE	S14	Fecha de Rotura	30-sept.-09



CARACTERÍSTICAS

fcm (MPa)	29.18	bxh	15x26
Esbeltez (λ_g)	5.76		
Axil reducido (v)	0.1	Acero	Lote 2
ρ_l (%)	1.74		6 Φ 12
ρ_s (%)	2.79		Φ 8C/5

DOSIFICACIÓN (Kg/m³)

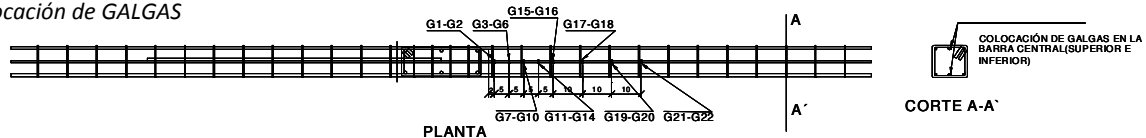
Cemento	Agua	Arena	Grava	Fibras
570	158.88	733.2	890	0
Humo de Sílice	Plastificante Pozzolith 651N	Superplastificante Glenium AC-		
0	0	31		

CARGAS

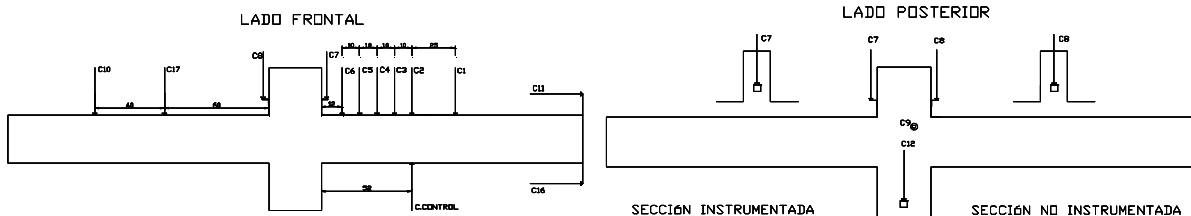
Nº ciclos	3B-D
Axil (kN)	113.81
P1 (kN)	44.15
Δy (mm)	11.37

INSTRUMENTACIÓN

Colocación de GALGAS

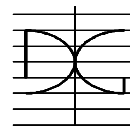


Colocación de CAPTADORES



OBSERVACIONES

- Se produjo salto de recubrimiento en 2A-U.
- Se alcanza el fallo por rotura después de haber alcanzado 3B-D, con una carga impuesta de -45.99 kN y un desplazamiento en el punto de control de -29.07 mm.
- Se evidenció pandeo de la armadura longitudinal inferior y se produjo fractura del acero longitudinal superior.



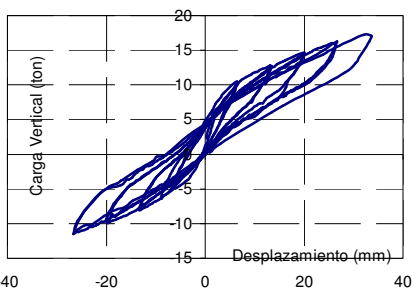
ESTUDIO EXPERIMENTAL DE LA DUCTILIDAD DE SOPORTES DE HORMIGÓN SOMETIDOS A COMPRESIÓN Y CARGA LATERAL CÍCLICA. INFLUENCIA DE LAS FIBRAS DE ACERO EN LA MASA DE HORMIGÓN

FICHA TÉCNICA DE ENSAYOS

Ensayo Nº	12	Fecha de Hormigonado	08-sept.-09
SopORTE	S15	Fecha de Rotura	06-oct.-09

CARACTERÍSTICAS

fcm (MPa)	29.73	bxh	15x14
Esbeltez (λ_g)	10.71		
Axil reducido (ν)	0.1	Acero	Lote 1
ρ_l (%)	1.44		6 Φ 8
ρ_s (%)	3.03		Φ 8C/7



DOSIFICACIÓN (Kg/m³)

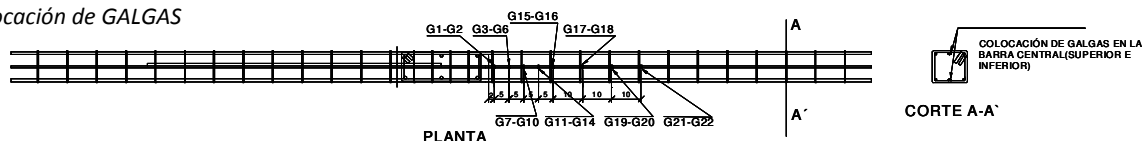
Cemento	Agua	Arena	Grava	Fibras
570	158.88	733.2	890	0
Humo de Sílice	Plastificante Pozzolith 651N	Superplastificante Glenium AC-		
0	0	31		

CARGAS

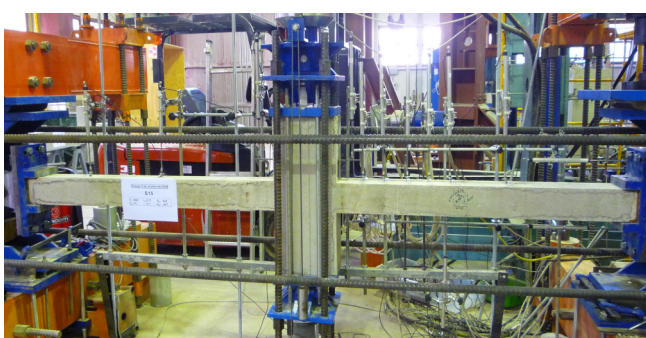
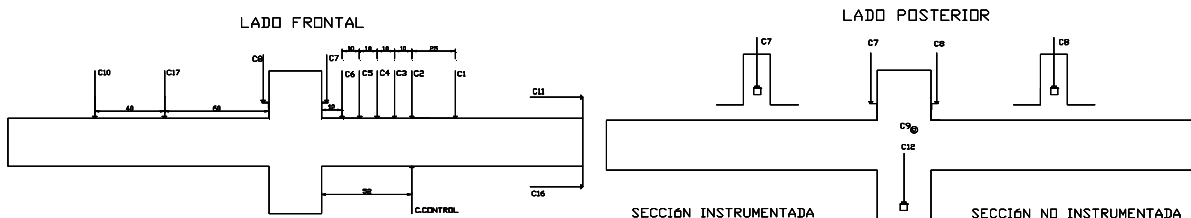
Nº ciclos	5A-U
Axil (kN)	62.42
P1 (kN)	6.38
Δy (mm)	5.4

INSTRUMENTACIÓN

Colocación de GALGAS



Colocación de CAPTADORES



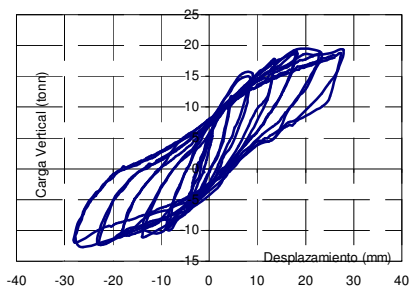
OBSERVACIONES

- Se produjo salto de recubrimiento en 5A-U
- Se alcanza el fallo por rotura después de haber alcanzado 5A-U, con una carga impuesta de 15.2 kN y un desplazamiento en el punto de control de 25.03 mm.

ESTUDIO EXPERIMENTAL DE LA DUCTILIDAD DE SOPORTES DE HORMIGÓN SOMETIDOS A COMPRESIÓN Y CARGA LATERAL CÍCLICA. INFLUENCIA DE LAS FIBRAS DE ACERO EN LA MASA DE HORMIGÓN

FICHA TÉCNICA DE ENSAYOS

Ensayo Nº	13	Fecha de Hormigonado	10-sept.-09
Soporte	S16	Fecha de Rotura	08-oct.-09



CARACTERÍSTICAS

fc _m (MPa)	30.63	b x h	15x14
Esbeltez (λg)	10.71		
Axil reducido (v)	0.35	Acero	Lote 1
ρ _l (%)	1.44		6Φ8
ρ _s (%)	3.03		Φ8C/7

DOSIFICACIÓN (Kg/m³)

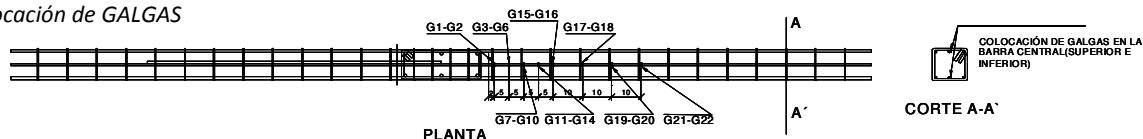
Cemento	Agua	Arena	Grava	Fibras
570	158.88	733.2	890	0
Humo de Sílice	Plastificante Pozzolith 651N	Superplastificante Glenium AC-		
0	0	31		

CARGAS

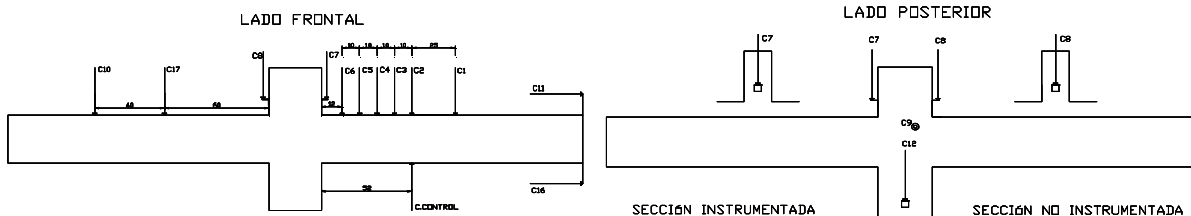
Nº ciclos	6B-Dφ
Axil (kN)	225.09
P1 (kN)	5.89
Δy (mm)	4.09

INSTRUMENTACIÓN

Colocación de GALGAS

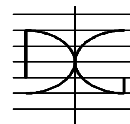


Colocación de CAPTADORES



OBSERVACIONES

- Se produjo salto de recubrimiento en 4A-U.
- Se alcanza el fallo por rotura después de haber alcanzado 6B-Dφ, con una carga impuesta de 18.01 kN y un desplazamiento en el punto de control de 20.32 mm.
- Se evidenció pandeo de la armadura longitudinal (superior e inferior).



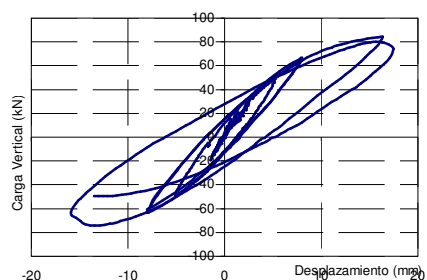
ESTUDIO EXPERIMENTAL DE LA DUCTILIDAD DE SOPORTES DE HORMIGÓN SOMETIDOS A COMPRESIÓN Y CARGA LATERAL CÍCLICA. INFLUENCIA DE LAS FIBRAS DE ACERO EN LA MASA DE HORMIGÓN

FICHA TÉCNICA DE ENSAYOS

Ensayo Nº	11	Fecha de Hormigonado	04-sept.-09
SopORTE	S17	Fecha de Rotura	02-oct.-09

CARACTERÍSTICAS

f _{cm} (MPa)	30.4	bxh	15x26
Esbeltez (λ _g)	10.71		
Axil reducido (ν)	0.55	Acero	Lote 1
ρ _l (%)	1.74		6Φ12
ρ _s (%)	2.79		Φ8C/5



DOSIFICACIÓN (Kg/m³)

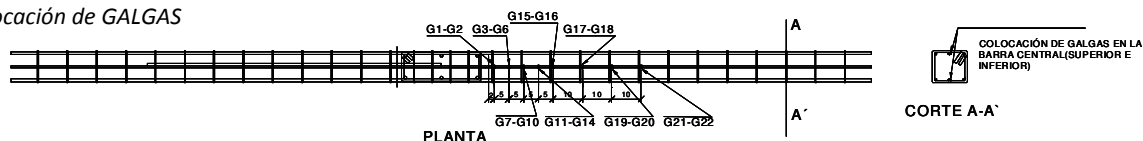
Cemento	Agua	Arena	Grava	Fibras
570	158.88	733.2	890	0
Humo de Sílice	Plastificante Pozzolith 651N	Superplastificante Glenium AC-		
0	0	31		

CARGAS

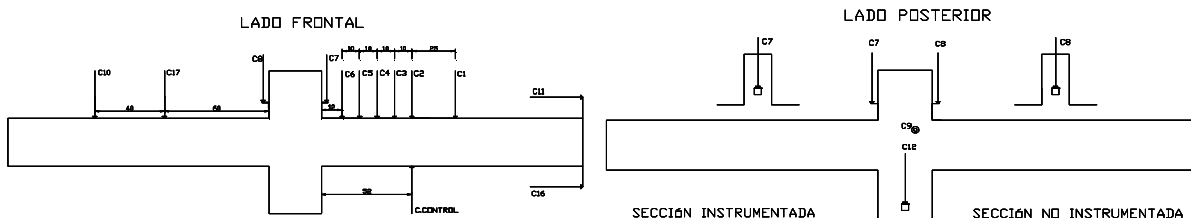
Nº ciclos	2B-Uφ
Axil (kN)	652.08
P1 (kN)	49.05
Δy (mm)	7.16

INSTRUMENTACIÓN

Colocación de GALGAS



Colocación de CAPTADORES



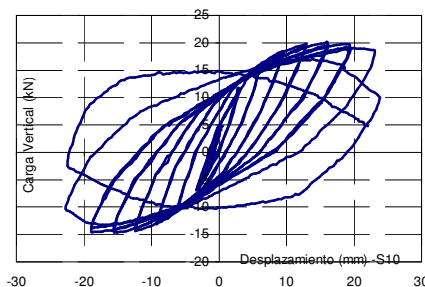
OBSERVACIONES

- Se produjo salto de recubrimiento en 2A-D.
- Se alcanza el fallo por rotura después de haber alcanzado 2B-Uφ, con una carga impuesta de -49.71 kN y un desplazamiento en el punto de control de -11.78 mm.

ESTUDIO EXPERIMENTAL DE LA DUCTILIDAD DE SOPORTES DE HORMIGÓN SOMETIDOS A COMPRESIÓN Y CARGA LATERAL CÍCLICA. INFLUENCIA DE LAS FIBRAS DE ACERO EN LA MASA DE HORMIGÓN

FICHA TÉCNICA DE ENSAYOS

Ensayo Nº	14	Fecha de Hormigonado	16-sept.-09
SopORTE	S18	Fecha de Rotura	14-oct.-09



CARACTERÍSTICAS

fcm (MPa)	32.68	bxh	15x14
Esbeltez (λ_g)	10.71		
Axil reducido (v)	0.55	Acero	Lote 1
ρ_l (%)	1.44		6 Φ 8
ρ_s (%)	3.03		Φ 8C/7

DOSIFICACIÓN (Kg/m³)

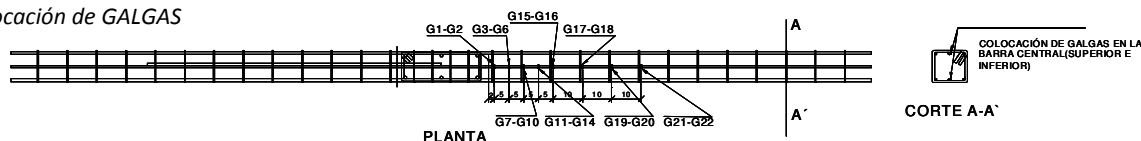
Cemento	Agua	Arena	Grava	Fibras
570	158.88	733.2	890	0
Humo de Sílice	Plastificante Pozzolith 651N	Superplastificante Glenium AC-		
0	0	31		

CARGAS

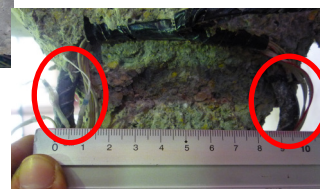
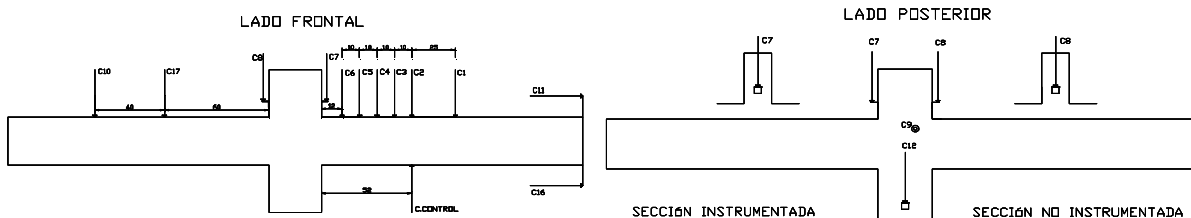
Nº ciclos	8A-U
Axil (kN)	377.39
P1 (kN)	4.91
Δy (mm)	2.66

INSTRUMENTACIÓN

Colocación de GALGAS



Colocación de CAPTADORES



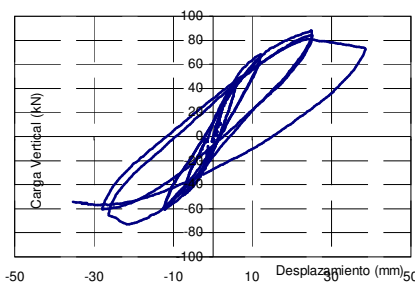
OBSERVACIONES

- Se produjo salto de recubrimiento en 5A-U.
- Se alcanza el fallo por rotura después de haber alcanzado 8A-U, con una carga impuesta de 4.77 kN y un desplazamiento en el punto de control de 19.98 mm.
- Se evidenció pandeo de la armadura longitudinal (superior e inferior).

ESTUDIO EXPERIMENTAL DE LA DUCTILIDAD DE SOPORTES DE HORMIGÓN SOMETIDOS A COMPRESIÓN Y CARGA LATERAL CÍCLICA. INFLUENCIA DE LAS FIBRAS DE ACERO EN LA MASA DE HORMIGÓN

FICHA TÉCNICA DE ENSAYOS

Ensayo Nº	9	Fecha de Hormigonado	30-junio-09
SopORTE	S2	Fecha de Rotura	28-julio-09



CARACTERÍSTICAS

fcm (MPa)	29.68	bxh	15x26
Esbeltez (λ)	5.76		
Axil reducido (ν)	0.35	Acero	Lote 1
ρ_l (%)	1.74		6 Φ 12
ρ_s (%)	2.79		Φ 8C/5

DOSIFICACIÓN (Kg/m³)

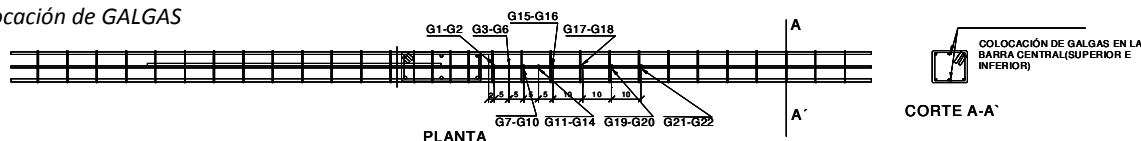
Cemento	Agua	Arena	Grava	Fibras
570	158.88	733.2	890	0
Humo de Sílice	Plastificante Pozzolith 651N	Superplastificante Glenium AC-		
0	0	31		

CARGAS

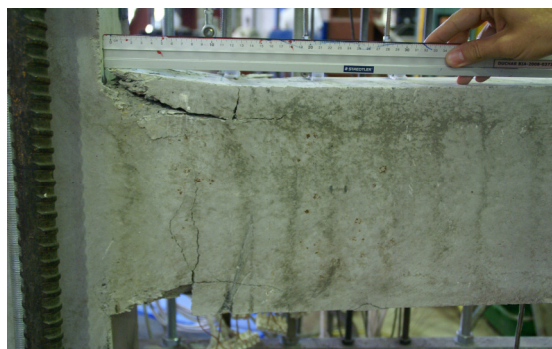
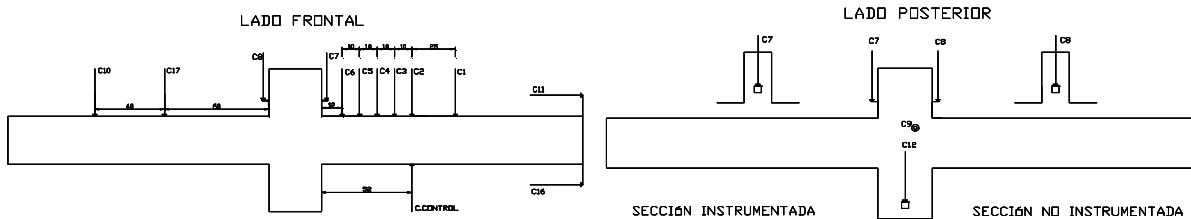
Nº ciclos	3A-D
Axil (kN)	405.18
P1 (kN)	49.05
Δy (mm)	9.72

INSTRUMENTACIÓN

Colocación de GALGAS



Colocación de CAPTADORES



OBSERVACIONES

- Se produjo salto de recubrimiento en 2B-D.
- Se alcanza el fallo por rotura después de haber alcanzado 3A-D, con una carga impuesta de -54.12 kN y un desplazamiento en el punto de control de -23.12 mm.

